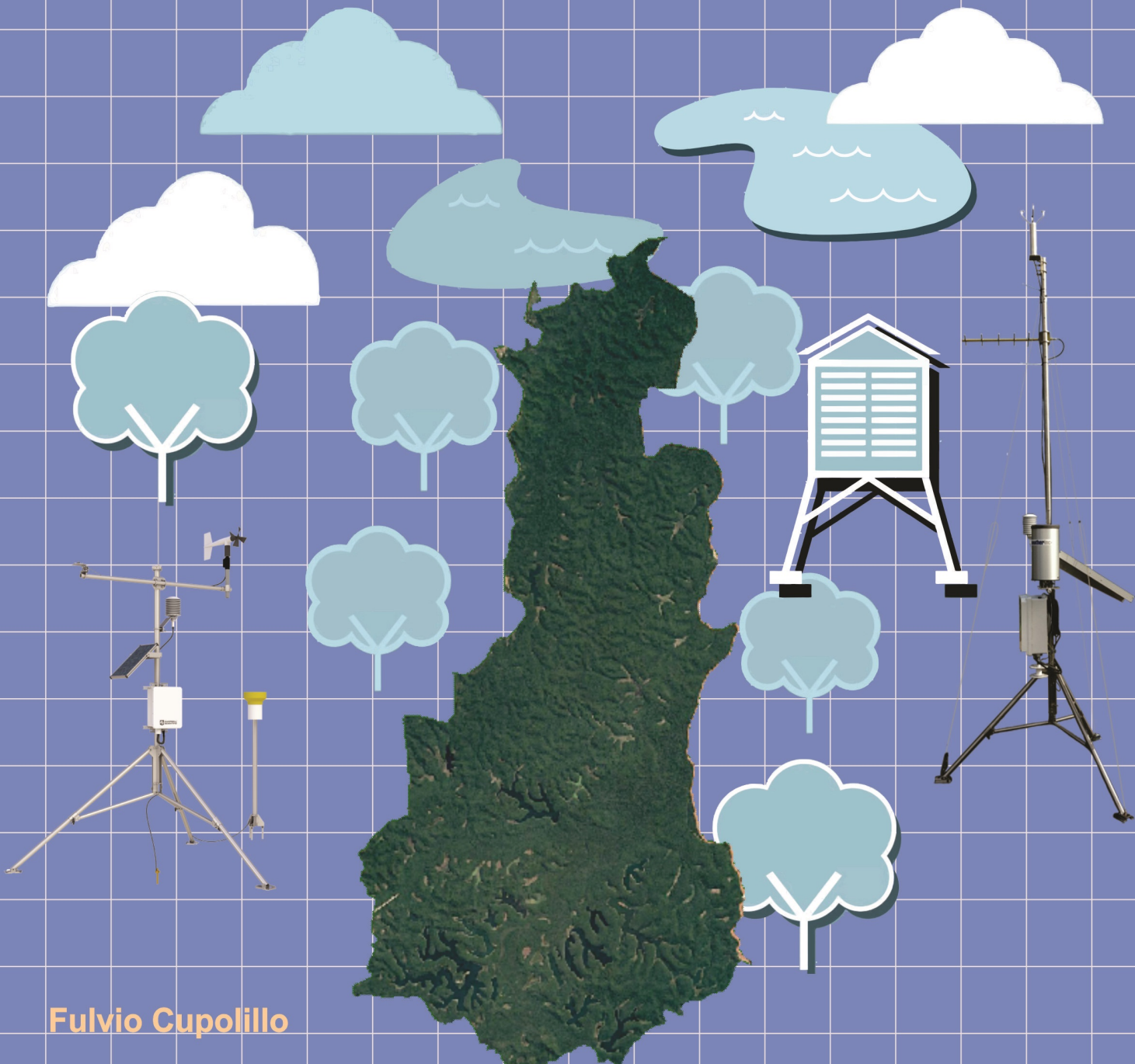


BOLETIM CLIMAPERD

ISSN 2675 - 9837
v. 05, n. 11 - Out/2025

PROGRAMA DE ESTUDOS DE LONGA DURAÇÃO DO PARQUE ESTADUAL DO RIO DOCE - MG (PELD/PERD)



Fulvio Cupolillo

Jean Monteiro Lima

OUT/2025

Presidente da República

Luiz Inácio Lula da Silva

Ministro de Estado da Educação

Camilo Santana

Reitor do Instituto Federal Ciência e Tecnologia de Minas Gerais – IFMG

Rafael Bastos Teixeira

Pró-reitor de Pesquisa, Inovação e Pós-graduação, Desenvolvimento e Pesquisa - IFMG

Gislayne Elisana Gonçalves

Diretor Geral do IFMG - Campus Bambuí

Humberto Garcia de Carvalho

Coordenadora do Programa de Mestrado Profissional em Sustentabilidade e Tecnologias Ambientais – Campus Bambuí

Ana Cardoso Clemente Filha Ferreira de Paula

Diretor Geral do IFMG - Campus Governador Valadares

Tonimar Domiciano Arrighi Senra

Diretor de Ensino, Pesquisa e Extensão do IFMG - Campus Governador Valadares

Bruno de Souza Toledo

Editores

Fulvio Cupolillo (IFMG – Campus Governador Valadares)

Jean Monteiro Lima (Doutorando – UFMG)

Conselho Editorial

Daniela Martins Cunha (IFMG – Campus Governador Valadares)

Evandro Klen Panquestor (IFMG – Campus Governador Valadares)

Jairo Rodrigues Silva (IFMG – Campus Ouro Preto)

Gustavo Augusto Lacorte (IFMG – Campus Bambuí)

Fernanda Moretta Coura (IFMG – Campus Santa Luzia)

Hygor Aritides Victor Rossoni (UFV – Campus Florestal)

Carlos Fernando Lemos (UFV – Campus Florestal)

Ludmila Silva Brighenti (UEMG – Campus Divinópolis)

Wellington Lopes Assis (UFMG)

Diego Guimarães Florencio Pujoni (UFMG)

Lizandro Gemiacki (INMET - 5°DISME)

Copyright © 2020 – Instituto Federal de Educação, Ciência e Tecnologia de Minas Gerais (IFMG)

Qualquer parte desta publicação pode ser reproduzida, desde que citada a fonte.

Boletim CLIMAPERD / Instituto Federal de Educação, Ciência e Tecnologia de Minas Gerais - Edição Especial
- v.05, n.11 – Out/2025 – Governador Valadares: IFMG, 2025.

Disponível em:

<https://www.ifmg.edu.br/governadorvaladares/pesquisa/laboratorio-de-climatologia/boletim-climaperd>

ISSN 2675 - 9837 - Publicação Mensal

CLIMAPERD – v. 05, n. 11 – Out/2025

SUMÁRIO

EDITORIAL	3
1 – INTRODUÇÃO	4
2 – OBJETIVO GERAL	5
3 – MATERIAIS E MÉTODOS	6
4 – RESULTADOS	8
5 – CONSIDERAÇÕES	16
6 – REFERÊNCIAS BIBLIOGRÁFICAS	17

EDITORIAL

Desde 1999 o CNPq vem apoiando sítios de pesquisas ecológicas de longa duração no Brasil, denominados sítios PELD e que são áreas de referência para a Pesquisa Ecológica no Brasil. Localizam-se nos mais diversos ecossistemas e nos principais biomas brasileiros, incluindo áreas preservadas e não-preservadas, onde são desenvolvidos estudos abordando desde longas séries temporais de dados sobre os ecossistemas e suas biotas associadas, até pesquisas temáticas de menor duração.

O projeto PELD/UFMG, é coordenado pelo DSc. Prof. Francisco Barbosa, e somos responsáveis pelo sítio **MLRD**: Mata Atlântica e Sistema Lacustre do médio Rio Doce-MG, tendo como área “core” o Parque Estadual do Rio Doce-PERD e áreas do seu entorno. Participam do PELD sítio#4 MLRD as seguintes instituições de pesquisa, ensino e extensão: UFMG, UFSJ, UFOP, UEMG e IFMG. A equipe do IFMG é liderada pelo pesquisador DSc. Fulvio Cupolillo (IFMG – Campi Governador Valadares e Bambuí), responsável pelo Subprojeto 8 – Climatologia, no qual, o MSc. Jean Monteiro Lima (Doutorando pela UFMG) é um dos responsáveis pela elaboração desta série de boletins.

Neste número estamos lançando o Boletim Climatológico CLIMAPERD em sua 5^a fase, 1 mês de análise de dados (outubro/2025) de três estações meteorológicas localizadas no PERD e seu entorno (Caratinga e Timóteo).

Salienta-se que estas publicações, objetivam atender a demanda informativa dos pesquisadores e da sociedade em geral.

Os Autores

1 - INTRODUÇÃO

A Mata Atlântica é formada por um conjunto de ecossistemas florestais e ecossistemas associados. Trata-se de uma das florestas mais ricas em diversidade de paisagens, fauna, flora e culturas humanas. No entanto, apesar de sua magnitude, é um dos biomas mais fragmentados e destruídos do planeta (SOS MATA ATLÂNTICA, 2011).

Seguindo preceitos de conservação, o Parque Estadual do Rio Doce (PERD) se apresenta como uma pequena porção do bioma de Mata Atlântica existente no Brasil e no estado de Minas Gerais. É considerado o maior remanescente contínuo do bioma Mata Atlântica do Estado. Importante pela elevada biodiversidade e endemismos, como também abriga boa parte dos lagos que compõem o sistema lacustre do médio Rio Doce, terceiro maior do Brasil (IEF-MG, 2008).

A Unidade de Conservação (UC) do PERD está inserida na região do Vale do Aço (Figura 1), onde concentra grande atividade industrial voltada para a produção de aço, abrigando também, grandes monoculturas de eucalipto para abastecimento da siderurgia, indústria de celulose, madeireira e pequenas propriedades agrosilvopastoris. Esta UC sofre pressão direta no seu entorno, da expansão urbana da Região Metropolitana do Vale do Aço e indiretamente do leste margeado pelo município de Caratinga. Apresenta redução da zona de amortecimento com ocupações irregulares, desmatamentos ilegais e contaminação do ar e da água, além dos impactos causados pela atividade turística e desastres naturais.

Nimer (1979), aponta a região Sudeste como a que mais possui um clima de transição, onde as turbulências e instabilidades atmosféricas dificultam as previsões de tempo, como reforçado por Cupolillo (2015), salientando que a atuação de vários sistemas atmosféricos acarreta dificuldades em identificar qual sistema atmosférico está atuando com maior ou menor intensidade na formação do tempo ou clima.

Da diversidade de sistemas atmosféricos atuantes na Região Sudeste do Brasil, alguns interferem no PERD, como: o Anticiclone Subtropical do Atlântico Sul - ASAS; Zona de Convergência da América do Sul - ZCAS¹; os Sistemas Frontais - SF; o Anticiclone Alta da Bolívia - AB; Vórtice Ciclônico de Altos Níveis - VCAN e o Cavado do Nordeste - CN.

¹ Define-se como mais apropriado para a Zona de Convergência o uso da nomenclatura “Zona de Convergência da América do Sul” em vez de “Zona de Convergência do Atlântico Sul”, devido este mecanismo atmosférico ocorrer predominantemente sobre o continente, o qual é fator determinante para sua formação conforme Amaro, Lacerda e Molion (2008).

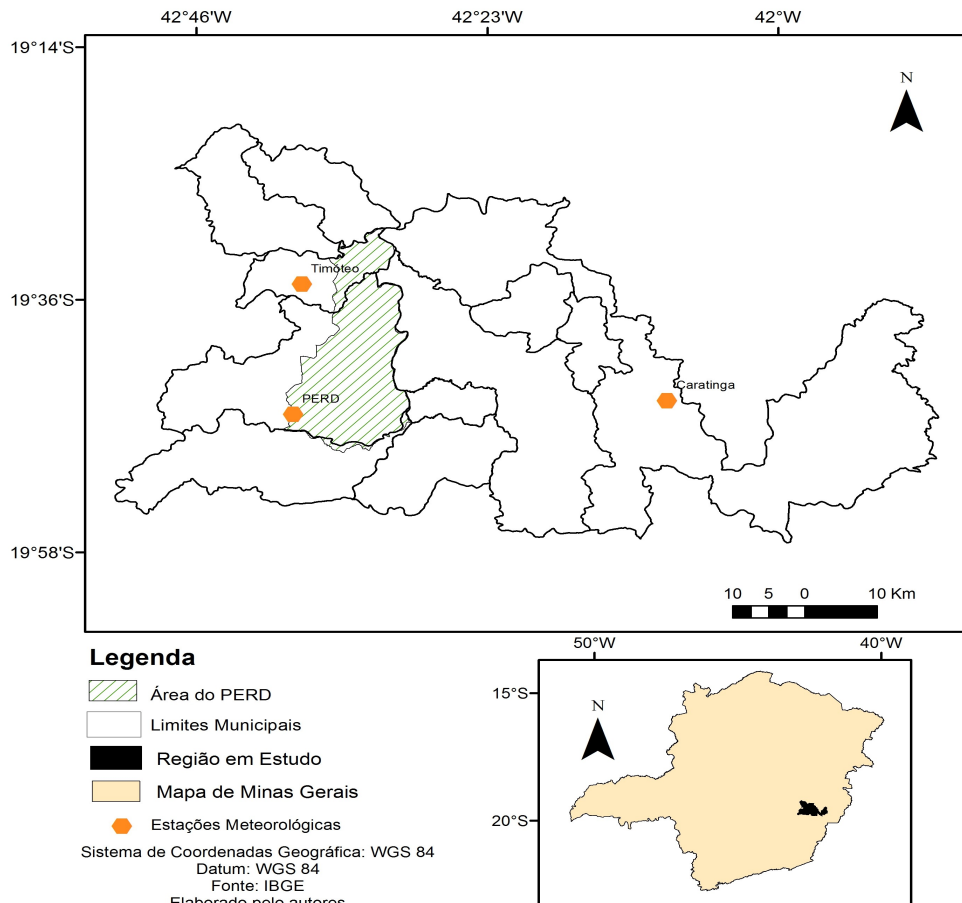


Figura 1 – Localização do Parque Estadual do Rio Doce – PERD.

Fonte: Elaborado pelos autores

Este boletim apresenta uma interpretação do comportamento dos dados meteorológicos de precipitação e temperatura no mês de outubro de 2025, bem como uma análise das chuvas e temperaturas no início da estação chuvosa do ano hidrológico 2025/2026.

2 - OBJETIVO GERAL

- Analisar o comportamento climático no PERD no mês de outubro de 2025.

2.1- OBJETIVOS ESPECÍFICOS:

- Compreender melhor as interações dos aspectos climatológicos com o bioma vigente no PERD;
- Demonstrar o comportamento das chuvas e temperatura média na região do PERD e seu entorno;
- Identificar os mecanismos atmosféricos que influenciam das chuvas e temperatura.

3 - MATERIAIS E MÉTODOS

Os métodos aplicados para a realização deste estudo utilizaram uma série de dados climatológicos de outubro de 2024 a outubro de 2025, coletados nas estações meteorológicas automáticas dos municípios de Caratinga, Timóteo e no PERD (Tabela 1), disponibilizados pelo INPE e INMET, de modo a investigar a distribuição das chuvas e comportamento das temperaturas médias, bem como sua influência no sistema lacustre, quanto para o bioma do PERD.

TABELA 1 - LOCALIZAÇÃO DAS ESTAÇÕES METEOROLÓGICAS

LOCALIDADE	LATITUDE	LONGITUDE	ALTITUDE(m)	CODIGO-INSTITUIÇÃO
PERD/ Marliéria/MG	-19.803	-42.638	297	PCD 30800 – INPE
TIMÓTEO	-19.5736	-42,6222	333	A511 - INMET
CARATINGA	-19.7358	-42,1536	615	A554 – INMET

Fonte: INPE e INMET, 2022.

Os dados das estações meteorológicas foram agrupados de outubro de 2024 a outubro de 2025 em períodos decendiais (10 dias), sendo que cada mês possui 3 decêndios conforme Cupolillo (2015).

Calculou-se a temperatura do ar através do somatório da frequência média de ocorrência da variável para cada decêndio dos meses (outubro de 2024 a outubro de 2025), onde se obteve a temperatura média para cada decêndio correspondentes a cada uma das três estações meteorológicas.

A precipitação da chuva foi calculada através do somatório da frequência de ocorrência da variável pluviosidade a cada decêndio dos meses (outubro de 2024 a outubro de 2025), correspondentes a cada uma das três estações meteorológicas.

De posse dos dados decendiais de chuva acumulada e temperatura média construiu-se histogramas para cada uma das estações meteorológicas em estudo.

Foram também elaborados mapas mensais do mês de outubro de 2025, espacializando os elementos climáticos de temperatura e precipitação a partir da ferramenta geoestatística do software ArcGIS 10.5.

Conforme Cupolillo (2015), foram geradas isolinhas através do modelo matemático de interpolação determinístico *Inverse Distance Weighting (IDW)*. As superfícies estatísticas geradas apresentaram melhor a realidade geográfica da bacia do Rio Doce. Este mesmo

interpolador foi utilizado por Antunes (2018) em função do número reduzido de estações meteorológicas instaladas no PERD e proximidades (Vieira, 2020).

Para verificar os processos dinâmicos que atuam sobre a América do Sul e oceanos adjacentes, foram gerados mapas climatológicos de linha de corrente descendais do mês de outubro de 2025, utilizando dados de reanálise² do NCEP (*National Center for Environment Prediction*), obtidos via portal do CDC/NOAA (*Climate Diagnostic Center/National Oceanic and Atmospheric Administration*). Foram considerados dados diários de vento, com resolução horizontal de 2,5° x 2,5° e trabalhados no visualizador gráfico GrADS (*Grid Analysis and Display System*).

De acordo com a Figura 2, o domínio espacial para América do Sul, Oceanos Pacífico e Atlântico, será definido entre as coordenadas geográficas entre 15° de latitude norte, 60° de latitude sul, 90° de longitude oeste e 20° de longitude leste, englobando as variáveis: componentes meridional e zonal do vento; convergência e divergência; e linhas de corrente para os níveis de 200 hPa, 500hPa e 850 hPa. (CUPOLILLO, 2015).

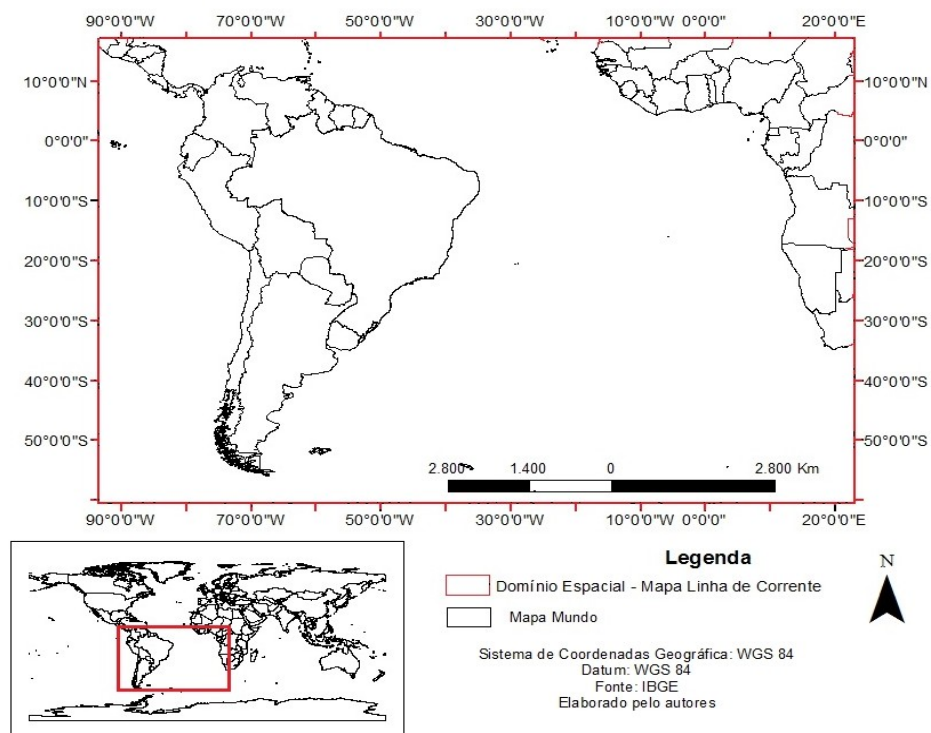


Figura 2 – Localização do Domínio Espacial para plotar Linhas de Corrente.
Fonte: Elaborado pelos autores

² Dados de Reanálise é um conjunto de dados obtidos a partir de modelos de circulação global com dados obtidos através da assimilação e sintetização de dados observados em todo o planeta.

4 - RESULTADOS

Os resultados obtidos nas análises dos dados das estações meteorológicas estão dispostos em forma de histogramas nas Figuras 3a, 3b e 3c, representando o acumulado de chuvas e comportamento da temperatura média, para cada estação meteorológica da região do PERD e seu entorno.

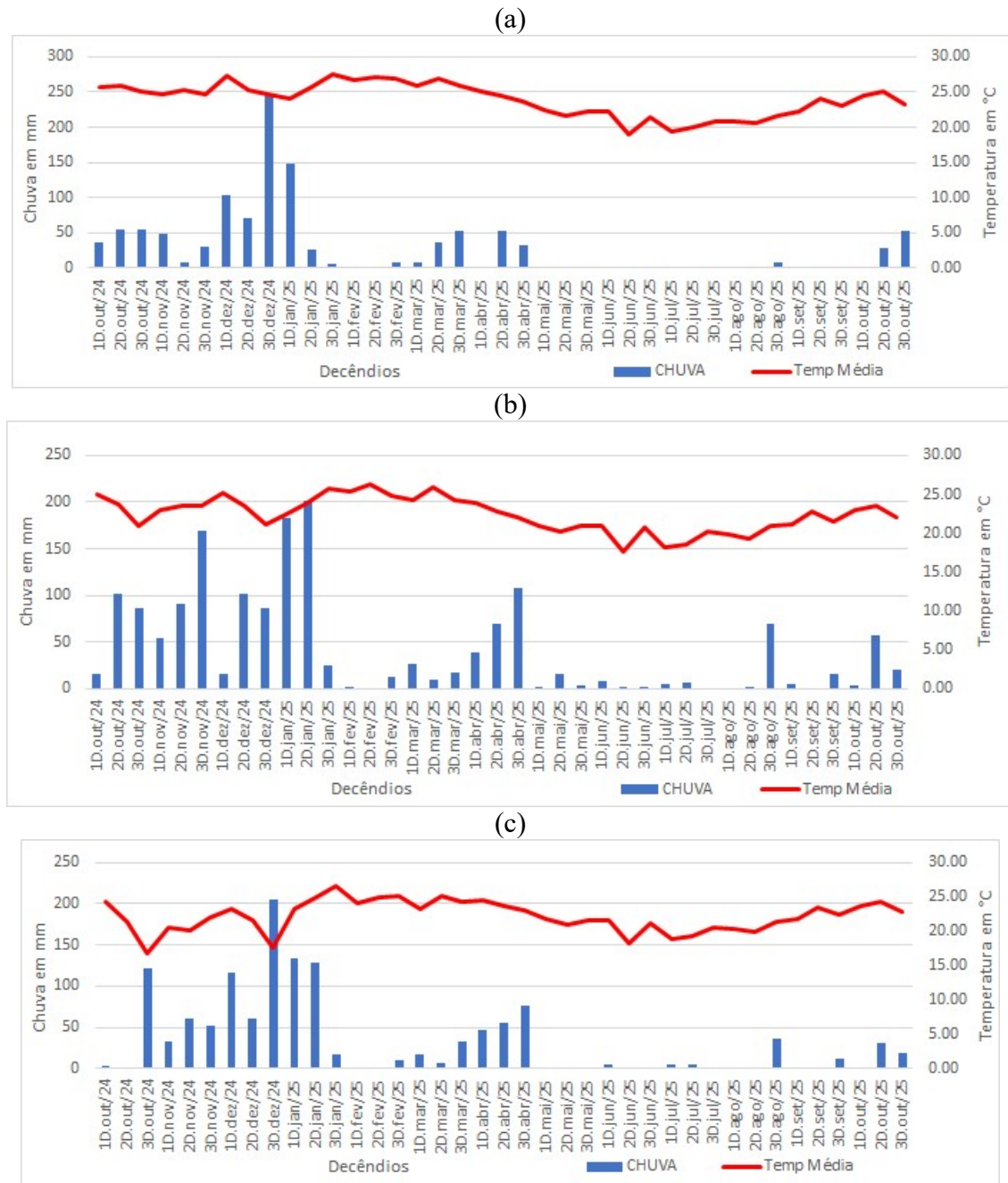


Figura 3: Histograma de Chuva e Temperatura: Caratinga (a); Timóteo (b) e PERD (c) – outubro de 2024 a outubro de 2025.

FONTE dos Dados: INMET e INPE

Nota-se (Figuras 3a, 3b e 3c), que os decêndios são distribuídos de outubro de 2024 a outubro de 2025, e relacionam-se ao ano hidrológico com a estação chuvosa (2024-2025). Salienta-se que na climatologia do PERD a estação chuvosa estende-se de outubro 2025 a março de 2026, enquanto a estação seca de abril a setembro de 2026. Após um período de estação seca finalizado em setembro de 2025, segue o 1º mês da estação Chuvosa, outubro de 2025, com cotas pluviométricas variando entre 1,2 mm no 1º decêndio, na estação de Caratinga e 57,6 mm no 2º decêndio, na estação de Timóteo.

O somatório dos três decêndios de outubro, comparado ao mês anterior, demonstraram valores superiores. Desta maneira, o total de chuvas nas três estações Caratinga, Timóteo e PERD, foram cotados respectivamente, como: 82,8 mm, 81,8 mm e 52,01 (Figuras 3a, 3b e 3c).

Quanto a temperatura média do mês de outubro, os valores mais elevados ocorreram no 2º decêndio em todas as estações, com: 25,0°C em Caratinga, 23,53°C em Timóteo e no PERD 24,27°C. Enquanto os valores inferiores foram encontrados, no 1º decêndio em todas as estações, com: 23,3°C em Caratinga, 22,12°C em Timóteo e 22,71°C no PERD (Figuras 3a, 3b e 3c).

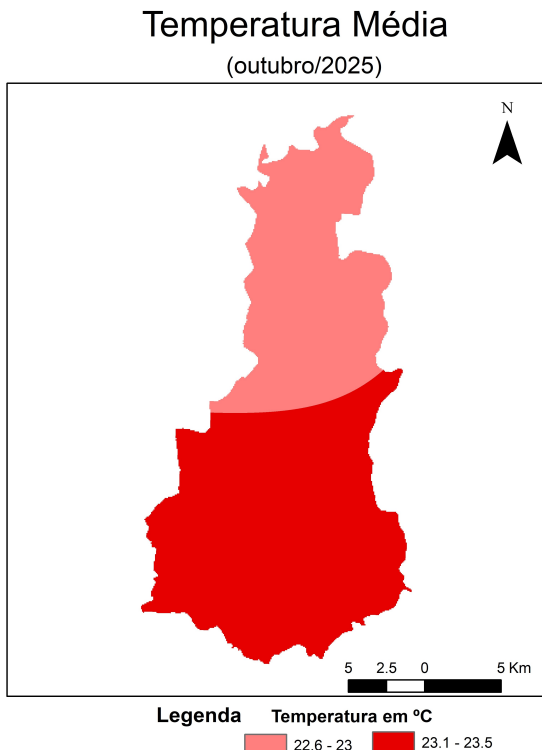


Figura 4 - Espacialização da Temperatura Média em outubro de 2025.
FONTE dos Dados: INMET e INPE

Ao analisar as temperaturas médias mensais, distribuídas espacialmente, no mês de outubro (Figura 4), verificou-se que no PERD dois territórios térmicos, distribuídos da

seguinte forma: o centro-sul variando de 23,1°C à 23,5°C e o centro-norte oscilando de 22,6°C à 23,0°C.

Quanto à precipitação acumulada em outubro, (Figura 5), o padrão de chuvas é distribuído, em três territórios pluviométricos, distribuídos no sentido, com os intervalos de classes: no norte entre 70,1 mm à 80,0 mm, no centro entre 60,1 mm à 70,0 mm e no sul entre 50,1 mm à 60,0 mm.

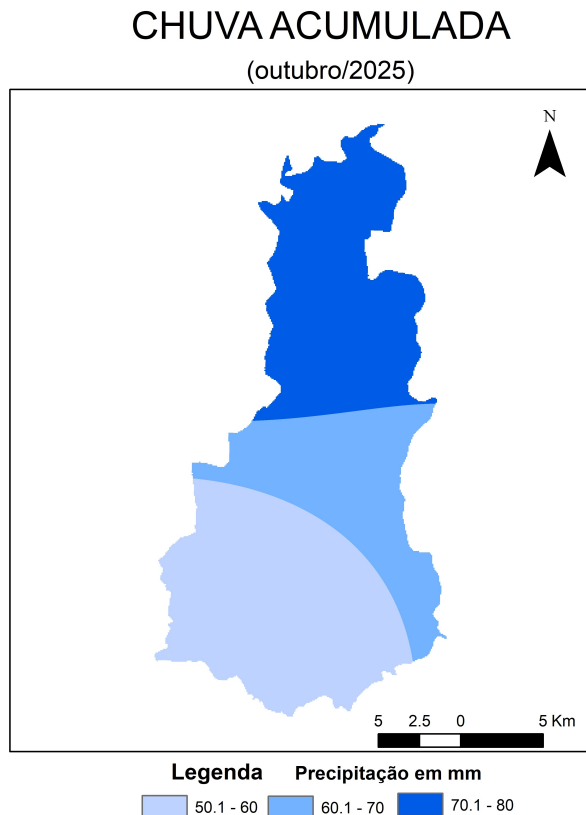


Figura 5 - Espacialização da Chuva da Acumulada em outubro de 2025.
FONTE dos Dados: INMET e INPE

As figuras 6a, 6b, 6c, 7a, 7b, 7c, 8a, 8b e 8c, referem-se aos mapas de linhas de corrente. Nota-se no 1ºdecêndio de outubro, no nível de 200 hPa (Figura 6a), a predominância do Jato Subtropical (JS), encontra-se em sua posição zonal, desde Mato Grosso, Goiás e sul da Bahia, estendendo-se até a porção meridional do continente e da Alta da Bolívia (AB), em sua posição climatológica, no noroeste da Amazônia, sobre a Bolívia, escoando umidade da Amazônia para o sudeste brasileiro.

No nível de 500 hPa (Figura 6b), observou-se o Anticiclone Subtropical do Pacífico Sul (ASPS) em sua posição climatológica, sobre o oceano Pacífico, enquanto o Anticiclone Subtropical do Atlântico Sul (ASAS), com seu centro sobre o Oceano Atlântico. Nota-se, também sobre a região do pantanal mato-grossense e da Bolívia, o Anticiclone denominado

de Alta da Bolívia (AB), a sudeste de sua posição climatológica, trazendo umidade para o sudeste e sobre o PERD. Quanto ao jato subtropical (JS), manteve-se em sua posição zonal, do Estado de São Paulo até o sul do continente.

No nível de 850 hPa (Figura 6c), manteve-se a oeste da América do Sul, sobre o Oceano Pacífico o Anticiclone Subtropical do Pacífico Sul (ASPS) e no sentido leste-oeste o Anticiclone Subtropical do Atlântico Sul (ASAS), com o seu centro sobre o Oceano Atlântico e sua borda ocidental, sobre Minas Gerais, provocando subsidência (descida) do ar, reduzindo as chuvas no PERD. Se comparado com o 3ºdecêndio do mês anterior na região do PERD, as cotas pluviométricas reduziram neste 1º decêndio. Quanto ao JS, encontra-se deslocado para a porção meridional da América do Sul.

Desta maneira, o total de chuvas nas três estações foram cotadas de 1,2 mm em Caratinga, 4,0 mm em Timóteo e 1,6 mm no PERD (Figuras 3a, 3b e 3c).

No 2ºdecêndio de outubro, ao nível de 200 hPa (Figura 7a), persiste a predominância da Alta da Bolívia (AB), em sua posição climatológica, no noroeste da Amazônia, sobre a Bolívia, escoando umidade da Amazônia para o sudeste brasileiro e do Jato Subtropical (JS), mantendo-se em sua posição zonal, estendendo-se desde a Bahia, Goiás e Mato Grosso até a porção meridional da América do Sul.

No nível de 500 hPa, (Figura 7b) observou-se o ASPS em sua posição climatológica, sobre o oceano Pacífico, o ASAS, encontra-se sobre o Oceano Atlântico Concomitantemente, a este fato, a Alta da Bolívia (AB) á sudeste de sua posição climatológica e o Jato Subtropical (JS), que se manteve em sua posição zonal, estendendo desde São Paulo até o sul do continente.

Em 850 hPa (Figura 7c), encontra-se a oeste da América do Sul, sobre o Oceano Pacífico o ASPS. No sentido leste-oeste, verifica-se a presença do ASAS sobre o oceano Atlântico, com seu giro anti-horário, escoando umidade do Oceano para o sudeste brasileiro e consequentemente, aumentando ainda mais as chuvas na região do PERD. Quanto ao JS, encontra-se deslocado para a extrema porção meridional da América do Sul.

Desta maneira, o total de chuvas nas três estações foram cotadas de 29,0 mm em Caratinga, 57,6 mm em Timóteo e 30,91 mm no PERD (Figuras 3a, 3b e 3c).

No 3ºdecêndio de outubro, ao nível de 200 hPa (Figura 8a), persiste a predominância do jato Subtropical (JS), mantendo-se em sua posição zonal, estendendo-se desde Minas Gerais até a porção meridional da América do Sul. Quanto a Alta da Bolívia (AB), não se manteve neste decêndio.

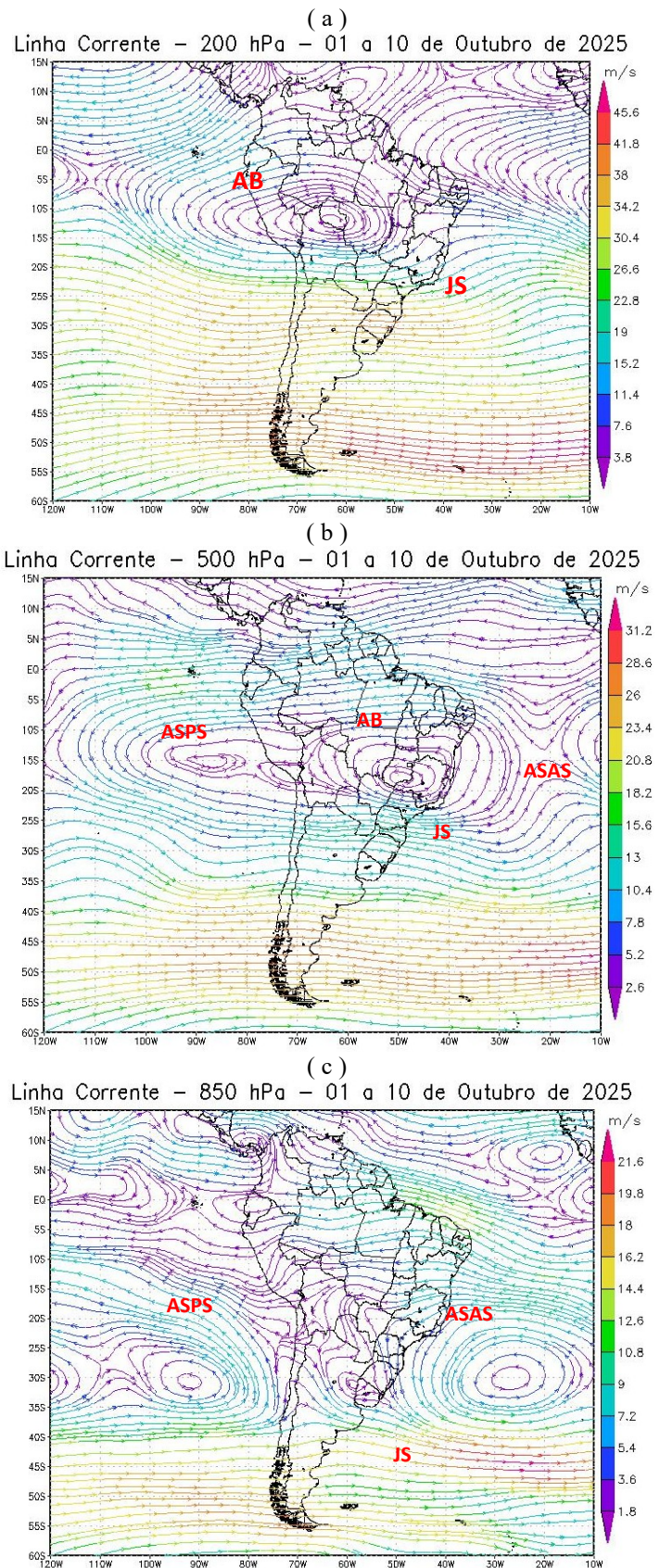


Figura 6 - Campos de Linha de Corrente 200 hPa (a), 500 hPa (b) e 850 hPa (c), do 1º Decêndio de outubro de 2025; demonstrando interação entre os sistemas atmosféricos: Jato Subtropical (JS), Alta da Bolívia (AB), Anticiclone Subtropical do Atlântico Sul (ASAS) e o Anticiclone Subtropical do Pacífico Sul (ASPS).

FONTE - Dados: NOAA 2025.

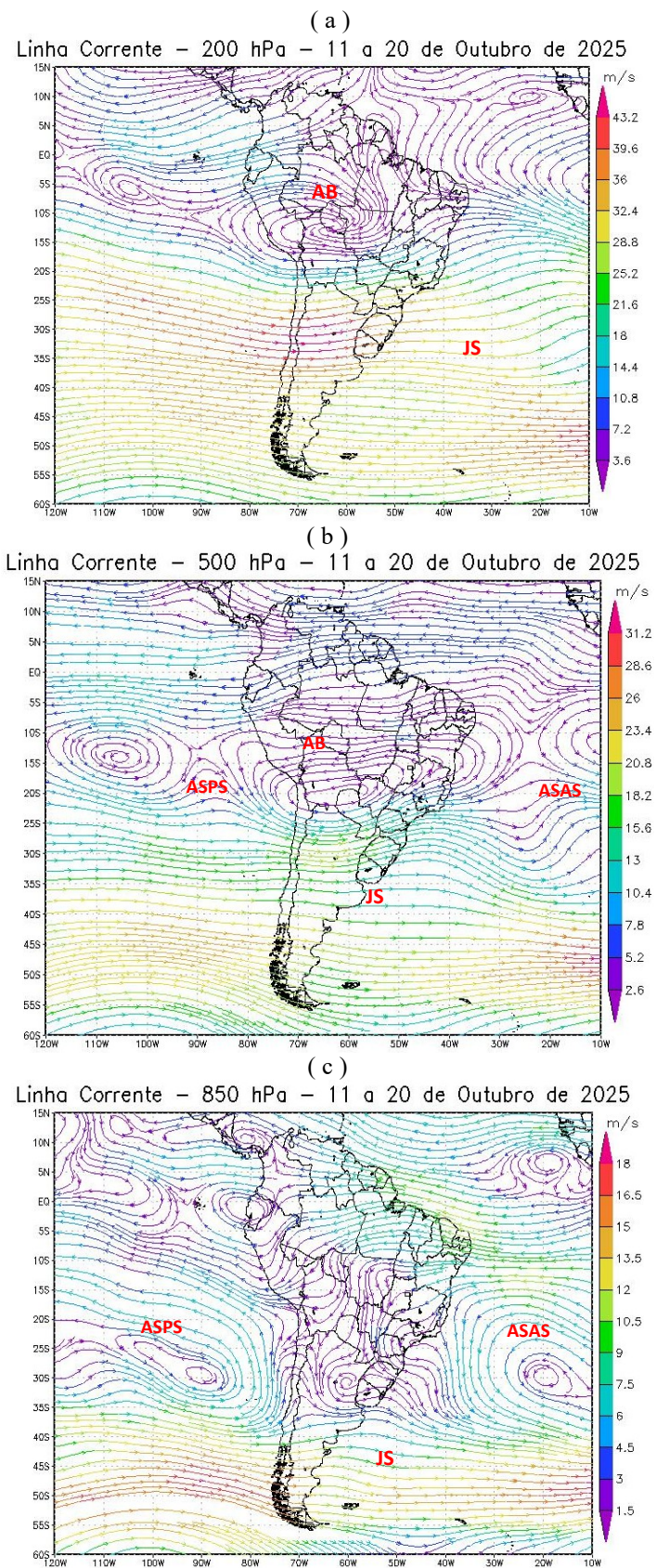


Figura 7 - Campos de Linha de Corrente 200 hPa (a), 500 hPa (b) e 850 hPa (c), do 2º Decêndio de outubro de 2025; demonstrando interação entre os sistemas atmosféricos: Jato Subtropical (JS), Alta da Bolívia (AB), Anticiclone Subtropical do Atlântico Sul (ASAS) e o Anticiclone Subtropical do Pacífico Sul (ASPS).

FONTE - Dados: NOAA 2025.

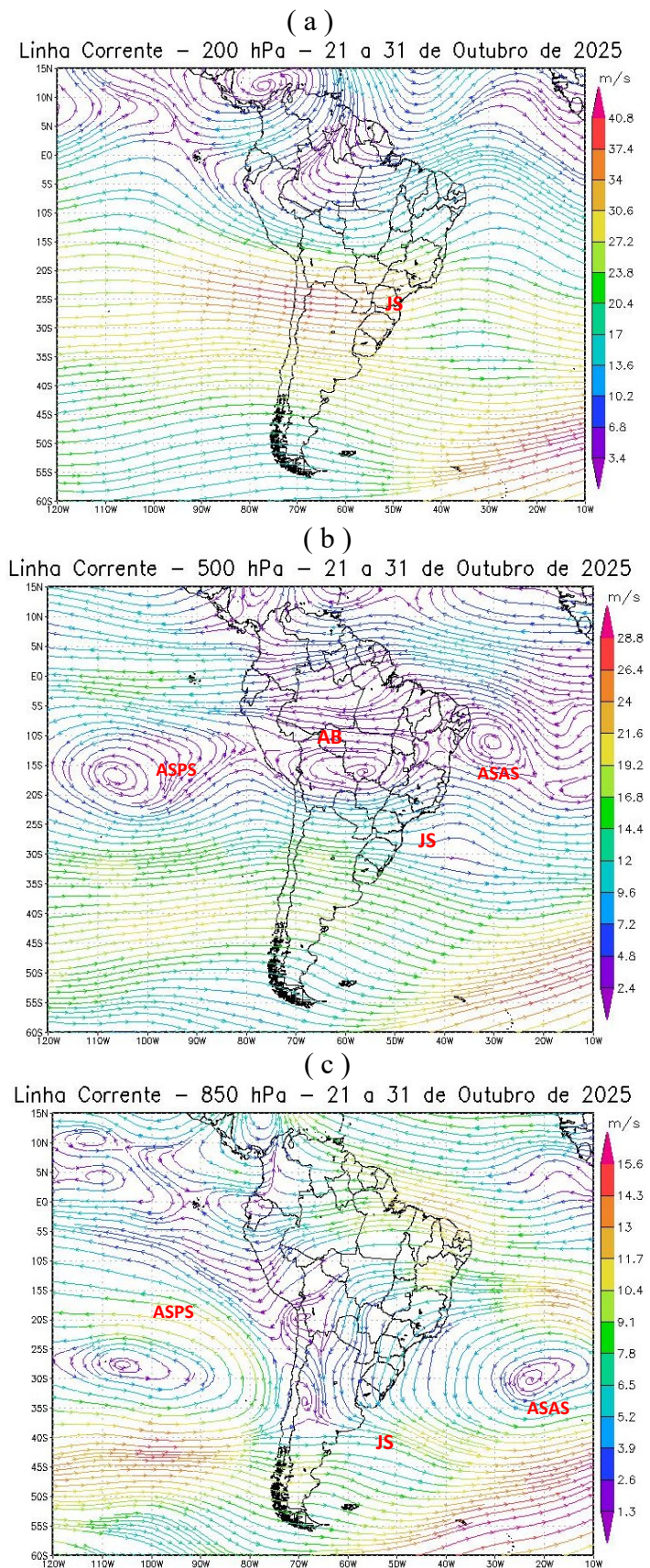


Figura 8 - Campos de Linha de Corrente 200 hPa (a), 500 hPa (b) e 850 hPa (c), do 3º Decêndio de outubro de 2025; demonstrando interação entre os sistemas atmosféricos: Jato Subtropical (JS), Alta da Bolívia (AB), Anticiclone Subtropical do Atlântico Sul (ASAS) e Anticiclone Subtropical do Pacífico Sul (ASPS).

FONTE - Dados: NOAA 2025.

No nível de 500 hPa, (Figura 8b) observou-se o ASPS em sua posição climatológica, sobre o oceano Pacífico, o ASAS, encontra-se sobre o Oceano Atlântico Concomitantemente, a este fato, a Alta da Bolívia (AB) á sudeste de sua posição climatológica e o Jato Subtropical (JS), que se manteve em sua posição zonal, estendendo desde São Paulo até o sul do continente.

Em 850 hPa (Figura 8c), encontra-se a oeste da América do Sul, sobre o Oceano Pacífico o ASPS. No sentido leste-oeste, verifica-se a presença do ASAS sobre o oceano Atlântico, com seu giro anti-horário, escoando umidade do Oceano para o sudeste brasileiro e consequentemente, aumentando ainda mais as chuvas na região do PERD. Quanto ao JS, encontra-se deslocado para a extrema porção meridional da América do Sul.

Desta maneira, o total de chuvas nas três estações foram cotadas de 52,6 mm em Caratinga, 20,2 mm em Timóteo e 19,5 mm no PERD (Figuras 3a, 3b e 3c).

As normais climatológicas do INMET (1991-2020), na região em torno do PERD, no mês de outubro, apresentam uma variabilidade entre 86,3 mm em Caratinga e 108,0 mm em Timóteo. Desta maneira, pode-se afirmar que, em outubro de 2025, as chuvas nas três estações, mantiveram-se abaixo da média. Tal fato, pode ser explicado pela influência dos mecanismos atmosféricos: AB, JS e ASAS responsáveis em parte, pela diminuição das chuvas nos três decênios, neste mês de outubro de 2025. Salienta-se que concomitantemente a este fato, o fator climático orografia (topografia), interferiu na distribuição regional das chuvas.

As condições dinâmicas no mês de outubro de 2025, estudadas a partir dos campos de linha de corrente, identificam que os mecanismos de escala sinóticas atuantes no continente e que influenciam na climatologia do PERD são: Alta da Bolívia (AB), Anticiclone do Subtropical do Atlântico Sul (ASAS), e Jato Subtropical (JS). Tais condições dinâmicas foram pesquisadas por Cupolillo (2015) para toda a bacia do rio Doce e Antunes (2018), Lima (2019), Cunha (2019), Vieira (2020) para o PERD e Andrade (2024).

5 - CONSIDERAÇÕES

Este Boletim foi dividido em três partes: a) Histograma decendial de temperatura e chuva; b) Espacialização do mês de outubro – temperatura e chuva; c) Aspectos dinâmicos.

a) Com relação ao histograma: temperatura e chuva PERD.

Observou-se que neste mês de outubro houve uma brusco aumento das cotas pluviométricas em função da presença e comportamento, principalmente, dos mecanismos atmosféricos: AB, JS e ASAS. Quanto às temperaturas médias, tiveram um ligeiro aumento, se comparadas ao mês anterior. Tal fato deve-se à posição sazonal do sol em relação a posição latitudinal.

b) Espacialização da temperatura e chuva no PERD.

Durante o mês de outubro, no PERD, à espacialização da temperatura média encontra-se em dois territórios térmicos, distribuídos da seguinte forma: o centro-sul variando de 23,1°C à 23,5°C e o centro-norte oscilando de 22,6°C à 23,0°C.

Quanto à espacialização das chuvas distribuem-se, em três territórios pluviométricos, distribuídos no sentido, com os intervalos de classes: no norte entre 70,1 mm à 80,0 mm, no centro entre 60,1 mm à 70,0 mm e no sul entre 50,1 mm à 60,0 mm.

c) Aspectos dinâmicos

O escoamento do ar atmosférico, em 200 hPa, 500hPa e 850 hPa, foi marcante nos decêndios de outubro, com a formação, dos mecanismos atmosféricos, com posições climatológicas do JS, da AB e ASAS, que contribuíram para um aumento da umidade relativa do ar, e consequentemente aumento das chuvas, principalmente no 2º decêndio, na região do PERD.

6 - REFERÊNCIAS BIBLIOGRÁFICAS

- AMARO, H. A.; LACERDA, E. G.; MOLION, L. C. B. **Um episódio da Zona de Convergência na América do Sul.** Rev. Bras. Geof. vol.17 n.2 -3, 2008.
- ANDRADE, R.N de. **Diagnóstico Climatológico do Monumento Natural Estadual Pico da Ibituruna.** Dissertação (Mestrado Profissional em Sustentabilidade e Tecnologia Ambiental) – Instituto Federal de Educação, Ciência e Tecnologia de Minas Gerais - IFMG, Bambuí - MG, 2024.
- ANTUNES, D. A. **Diagnóstico Climatológico do Parque Estadual do Rio Doce – PERD.** Dissertação (Mestrado Profissional em Sustentabilidade e Tecnologia Ambiental) – Instituto Federal de Educação, Ciência e Tecnologia de Minas Gerais - IFMG, Bambuí - MG, 2018.
- CUPOLILLO, F. **Diagnóstico Hidroclimatológico da Bacia do Rio Doce.** 1ª Ed. Saarbucken – Alemanha: Novas Edições Acadêmicas, 2015.
- CUNHA, D. M. **Variabilidade das chuvas na Bacia Hidrográfica do Rio Doce –MG/ES no período de 1991 a 2017.** Tese (Doutorado) - Pontifícia Universidade Católica de Minas Gerais. Programa de Pós-Graduação em Geografia - Tratamento da Informação Espacial. Belo Horizonte, 2019. 281f.
- ENVIRONMENTAL SYSTEMS RESEARCH INSTITUTE (ESRI). **ArcGIS Professional.** GIS for the desktop, versão 10.5, 2015. Disponível em: <http://www.esri.com/software/arcgis/index.html> . Acesso em 02 de novembro de 2025.
- GEORGE MASON UNIVERSATY **GrADS versão 2.0.2,** 2016. Disponível em: <http://cola.gmu.edu/grads/>. Acesso em 02 de novembro de 2025.
- INSTITUTO ESTADUAL DE FLORESTAS-IEF. **PLANO DE MANEJO DO PARQUE ESTADUAL DO RIO DOCE.** 2008. Disponível em: <http://www.ief.gov.br/component/content/360?task=view>. Acesso em 02 de novembro de 2025.
- INSTITUTO NACIONAL DE METEOROLOGIA DO BRASIL – INMET. **Dados Meteorológicos Estações Automáticas.** Disponível em: <https://tempo.inmet.gov.br/TabelaEstações/A001> : Acesso em novembro de 2025.
- INSTITUTO NACIONAL DE PESQUISAS ESPACIAIS (INPE). **Plano de Dados Abertos (PDA) – Sistema Integrado de Dados Ambientais (SINDA).** Disponível em: <http://sinda.crn.inpe.br/PCD/SITE/novo/site/index.php> : Acesso em 02 de novembro de 2025.
- INSTITUTO NACIONAL DE METEOROLOGIA DO BRASIL/5ºDistrito de METEOROLOGIA – INMET/5ºDISME. **Boletim Mensal para Minas Gerais.** novembro de 2025.
- KALNAY et al., The NCEP/NCAR 40-year reanalysis project, Bull. Amer. Meteor. Soc., 77, 437-470, 1996. Disponivel em: <https://psl.noaa.gov/> Acesso em 02 de novembro de 2025.

LIMA, J. M. **Análise espaço-temporal das chuvas persistentes na região do Parque Estadual do Rio Doce – PERD (2005 A 2015)**. Dissertação (Mestrado) - Instituto Federal de Educação, Ciência e Tecnologia de Minas Gerais. Bambuí, 2019. 346 p.

NIMER, E.; 1979: **Climatologia do Brasil**. Instituto Brasileiro de Geografia e Estatística, Rio de Janeiro, RJ; 421 p.

SOS MATA ATLÂNTICA. 2011 – **Documento disponível [online] na Internet**. Disponível em: <http://www.sosmatatlanica.org.br/index.php?section=info&action =mata>. Consulta em 20 outubro 2023.

TUBELIS, A. NASCIMENTO, F. J.L. **Meteorologia Descritiva: Fundamentos e Aplicações Brasileiras**. São Paulo: Edt. Nobel, 1992, 1^a.edição.

VIEIRA,C. A; **Estudo da atuação do Anticiclone Subtropical do Atlântico Sul (ASAS) sobre a Região do Parque Estadual do Rio Doce e seu entorno**. Dissertação (Mestrado) - Instituto Federal de Educação, Ciência e Tecnologia de Minas Gerais. Bambuí, 2020. 176 p.

VIEIRA, C. A. ; CUPOLILLO, F. ; LIMA, J. M. ; NUNES, J. B. C. . **Orientação para Interpoladores de Parâmetros Climáticos**. 2020. Cartilha Técnica - Instituto Federal de Educação, Ciência e Tecnologia de Minas Gerais. Bambuí, 2020.